

К. т. н. В. В. ДАНИЛОВ

Украина, г. Донецк, НИИ комплексной автоматизации

Дата поступления в редакцию
06.07 1999 г.Оппоненты к. ф.-м. н. В. В. СТУПАКОВ,
к. т. н. А. А. МЕРЖВИНСКИЙ

УСТАНОВКА ДИФФУЗИОННОЙ ТЕРМОКОМПРЕССИОННОЙ СВАРКИ

Исключение влияния испаряемых материалов на работоспособность узлов установки позволило повысить производительность процесса в целом.

Excluding influence of evaporated materials on capacity for work of plant units allows to raise the process productivity as a whole.

Одной из основных технологических операций изготовления акустооптической ячейки, базового элемента акустооптических устройств управления лазерным пучком, является соединение электроакустического преобразователя (ЭАП) со светозвукопроводом (СЗП). В качестве ЭАП на частотах до 400 МГц используются пластины пьезокристаллов (ПП). Кроме известных [1] способов крепления ПП и СЗП в прикладном акустооптическом приборостроении широко используется диффузионная термо-компрессионная сварка.

Техническая реализация устройств, предназначенных для такой сварки, предлагалась, например, в [2, 3]. Вместе с тем все известные технические решения не предусматривают защиты элементов функциональных узлов устройства от действия испаряющихся материалов, приводящего к росту числа непроизводительных операций, связанных с обслуживанием и переналадкой установки в целом.

Предлагаемая установка содержит откачивающую и гидравлическую подсистемы, стойку контрольно-

измерительного оборудования и вакуумную камеру серийной установки напыления УВН-74П-3, где вместо демонтированной карусели подложек (см. **рис. 1**) непосредственно на опорной плате 5 собрано устройство диффузионной термо-компрессионной сварки (**рис. 2**), содержащее пневмопривод, узлы напыления, позиционирования,стыковки ПП и СЗП.

Пневмопривод 3 имеет патрубки 1 и 2, посредством подачи сжатого воздуха в которые осуществляется подъем и опускание штока 18. Шток 18 представляет собой единое целое с поршнем, расположенным в пневмоцилиндре пневмопривода 3. Уплотнение поршня в пневмоцилиндре осуществлено посредством двух манжет (80×65-2, ГОСТ 6969—54). Внутренняя поверхность пневмоцилиндра полированная. Ввод штока 18 в вакуумную камеру выполнен в соответствии с рекомендациями работы [4, с. 141], где полированная поверхность штока контактирует с уплотнительными втулками на основе фторопласта (Ф-4.60, ТУ 6-05-810—76). Поджим втулок с целью вакуумного уплотнения штока осуществляется кольцом 19. Подача воздуха в патрубок 2 (подъем штока) или в 1 (опускание штока) осуществляется с помощью электромеханического двунаправленного вентиля, штатной принадлежности УВН-74П-3. Между патрубком 2 и одним из выходов вентиля размещается датчик измерителя давления, цифровой индикатор которого выведен на табло 20.

Узел напыления смонтирован на несущих стойках 6 и двух полудисках 9, которые содержат четыре диаметрально противоположных (под углом 90°) проточки, в которых в экранах 10 на изоляторах размещены нагреватели-испа-

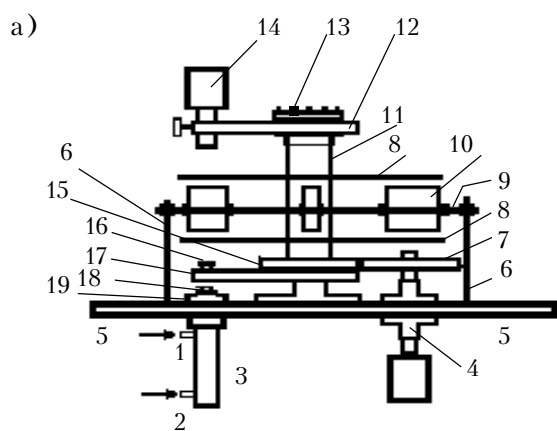
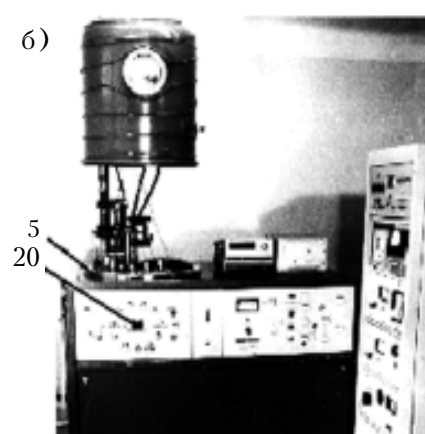


Рис. 1. Установка диффузионной термо-компрессионной сварки



ТЕХНОЛОГИЧЕСКИЕ ПРОЦЕССЫ

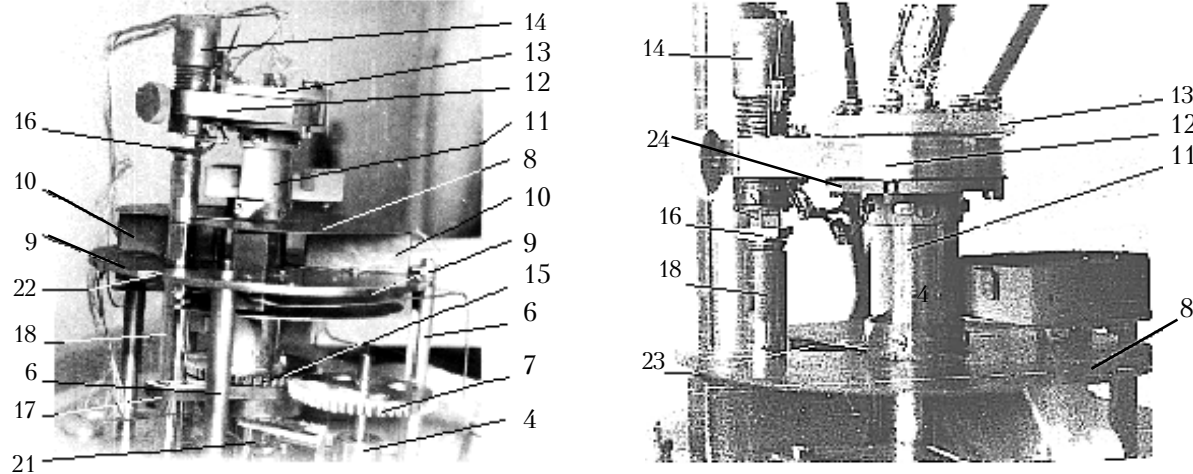


Рис. 2. Устройство диффузионной термокомпрессионной сварки

рители, питание которых осуществлено через токовводы 21. Защитные экраны 10 установлены вверху и внизу относительно проточек. Отверстие 22 между полудисками 9 обеспечивает беспрепятственный подъем штока 18.

В состав узла *позиционирования* входит вакуумный ввод вращения 4, на ось которого, размещенную в вакуумной камере, надета шестерня 7. Другая его часть (под плитой 5) соединена с электродвигателем РД-09 (редукция 1:125). Шестерня 7 сцеплена с шестерней 15, несущей опоры карусели 11. Два подшипника карусели прикрыты (для предотвращения попадания распыляемых материалов): верхний — крышкой 13, столиком 12 и крышкой 24, нижний — столиком 17. Две диафрагмы 8 имеют секторальные вырезы 23, предназначенные для попадания продуктов испарения только на ПП и СЗП. Датчики местоположения столиков 17 и 12 карусели 11 находятся под крышкой 13.

Стыковочный узел состоит из двух модулей, верхнего 14 и нижнего 16. Верхний модуль содержит тарированную пружину и опирающийся на нее держатель СЗП; для регулировки его положения по высоте он поджат соответствующим винтом. В состав модуля 14 входит также датчик давления, цифровая индикация которого выведена на табло 20. Нижний стыковочный модуль 16 размещен на столике 17 и представляет собой держатель пластин ПП, отцентрированный на столике 17 специальной магнитной защелкой.

Процесс диффузионной термокомпрессионной сварки состоит в следующем. Образец светозвуко-проводя закрепляют в держателе модуля 14. Пластина пьезопреобразователя укладывается на поверхности модуля 16. Исходное положение штока 18 показано на рис. 1, а. Колпак камеры (см. рис. 1, б) опускается и камера с помощью откачивающей системы вакуумируется до давления 10^{-6} мм рт. ст. Образцы СЗП и ПП в модулях 14 и 16, разнесенные на позиционере по вертикали (как показано на рис. 1, а), перемещаются по кругу и последовательно фиксируются над нагревателями-испарителями (предусмотрено 4 шт.) и следующими за ними технологическими промежутками (4 шт.). В позициях над нагревателем-испарителем происходит прогрев ПП и

СЗП и термическое напыление промежуточных и связующего слоев (например, Cr—Cu и In, соответственно). Возможные комбинации материалов промежуточных и связующего слоев рассмотрены в [1].

Затем позиционер подводит модули 14 и 16, содержащие СЗП и ПП, к штоку 18 пневмоцилиндра 3. Шток, перемещаясь по вертикали, подводит СЗП и ПП друг к другу и сжимает их между собой. Используемая установка УВН-74П-3 позволяет реализовать как холодную диффузионную [5], так и термокомпрессионную сварку.

В зависимости от материалов СЗП и ПП усилие, создаваемое штоком при их сжатии, может быть в диапазоне 50...400 Н, температура прогрева образцов — 75...200°C. Время напыления, усилие при сжатии ПП и СЗП, расположение модулей 14 и 16 под колпаком над определенными нагревателями-испарителями контролируются цифровым табло 20. Толщина напыляемых промежуточных и связующего слоев контролируется измерителем КИТ-1.

Представленная установка диффузионной термокомпрессионной сварки была разработана и создана в Донецком НИИ комплексной автоматизации для реализации акустооптических ячеек управления лазерными пучками и эксплуатируется более 8 лет. При изготовлении лазерного модуляционного устройства, описанного в [6], слой хрома составлял толщину 600...800 Å, слой меди — 0,3 мкм, слой индия — 1,5 мкм. Температура СЗП и ПП при напылении хрома и меди примерно равна 200°C, при напылении индия — 60°C. Давление, под которым сжимали свариваемые СЗП и ПП, составляло 20 кгс/см². В сжатом состоянии эти детали в вакууме подвергали нагреву до 155°C со скоростью примерно 85—100°C/ч. Время выдержки при данной температуре составляло 7—10 мин. Скорость охлаждения сваренных ПП и СЗП до комнатной температуры — 50°C/ч.

После сварки ПП и СЗП производится сошлифовка пластины пьезопреобразователя до толщины, определяемой выражением $d=v/(2f)$, где d — толщина ПП, v — скорость упругой волны в пластине пьезопреобразователя, f — резонансная частота

ТЕХНОЛОГИЧЕСКИЕ ПРОЦЕССЫ

электроакустического преобразователя. Контроль резонансной частоты проводится по методу, предложенному в [7, с. 71].

Предложенное техническое решение установки диффузионной термоомпрессионной сварки, основной особенностью которой является исключение влияния испаряемых материалов на работоспособность ее узлов, позволило повысить производительность процесса в целом. Разработанные технологические режимы сварки позволили реализовать более сотни акустооптических ячеек управления лазерным пучком для оптических систем различного назначения.

ИСПОЛЬЗОВАННЫЕ ИСТОЧНИКИ

1. Larson J. D., Winslow D. K. Ultrasonically welded piezoelectric transducers // IEEE trans. on sonics and ultrasonics. — 1971. — Vol. SU-18, N 3. — P. 142—151.

2. Азаматов З. Т., Мамаджанов Ф. Д., Расулов Х. Х. и др. Устройство для диффузионной сварки пьезоэлектрических преобразователей акустооптических устройств // ПТЭ. — 1993. — № 4. — С. 213—218.

3. Бондаренко В. С., Зоренко В. П., Чкалова В. В. Акустооптические модуляторы света. — М. : Радио и связь, 1988.

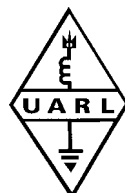
4. Сенченков А. П. Техника физического эксперимента. — М. : Энергоатомиздат, 1983.

5. Белик Т. В., Данилов В. В., Роганов Л. М. и др. Устройство диффузионной сварки в вакууме // ПТЭ. — 1993. — № 6. — С. 245—246.

6. Белик Т. В., Данилов В. В., Деркаченко Е. В. и др. Лазерное модуляционное устройство // Там же. — 1992. — № 4. — С. 236—237.

7. Гусев О. Б., Клудзин В. В. Акустооптические измерения. — Л. : Изд-во ЛГУ, 1987.

Радио хобби



Самый схемотехнический журнал СНГ

*Издается с января 1998 года коллективом известных авторов
совместно с Лигой радиолюбителей Украины*

Главный редактор Николай Сухов

Тематика

- ✓ любительская и профессиональная связь
- ✓ аудиотехника ламповая и транзисторная, Hi-Fi и High-End
- ✓ телевидение
- ✓ микроконтроллеры, автоматика
- ✓ автомобильная электроника
- ✓ ремонт, обмен опытом

- ✓ новые электронные компоненты, техника и технологии
- ✓ измерительная техника
- ✓ компьютеры, ИНТЕРНЕТ, ФидоНет в радиолюбительской и инженерной практике
- ✓ схемотехнический дайджест из двух десятков зарубежных журналов

С апреля 1999 года объем журнала 64 стр., тираж 8000 экз., распространение преимущественно по подписке в любом почтовом отделении:

в Украине — по каталогу «Укрпочты», **индекс 74221**

в России и других странах СНГ, а также Прибалтике — по каталогу «Роспечати», **индекс 45955**

в странах дальнего зарубежья — по каталогу «Russian Newspapers & Magazines» агентства «Роспечать»

ИНТЕРНЕТ-сайт журнала <http://radiohobby.da.ru>, по данным рейтинговых систем Rambler, Ping, Aport, 1000 Stars и др., является самым популярным среди всех технических изданий как Украины, так и России

Стоимость размещения рекламы на одной странице журнала (формат А4) в 5 раз дешевле, чем рассылка эквивалентного тиража количества писем

Адрес редакции: 252190, Киев-190, а/я 568

тел./факс (044) 443-71-53

E-mail: radiohobby@email.com

Fido: 2:463/197.34